



## پوشن‌های هیبریدی نانوکاتالیستی فوتوكاتالیستی با نانوذرات هسته/پوسته $\text{TiO}_2\text{-SiO}_2$ : تهیه و بررسی مقاومت خوردگی و خوردگی

حسین عبدالله‌ی<sup>۱</sup>، امیر ارشاد لنگرودی<sup>۲\*</sup>، علی سلیمی<sup>۲</sup>، اعظم رحیمی<sup>۴</sup>

۱- دانشجوی کارشناسی ارشد، گروه رنگ، رزین و روکش‌های سطح، پژوهشگاه پلیمر و پتروشیمی ایران، صندوق پستی: ۱۴۹۶۵/۱۱۵

۲- دانشیار، گروه رنگ، رزین و روکش‌های سطح، پژوهشگاه فرآیند، پژوهشگاه پلیمر و پتروشیمی ایران، صندوق پستی: ۱۴۹۶۵/۱۱۵

۳- استادیار، رنگ، رزین و روکش‌های سطح، پژوهشگاه فرآیند، پژوهشگاه پلیمر و پتروشیمی ایران، صندوق پستی: ۱۴۹۶۵/۱۱۵

۴- استاد، گروه علوم پلیمر، پژوهشگاه علوم، پژوهشگاه پلیمر و پتروشیمی ایران، صندوق پستی: ۱۴۹۶۵/۱۱۵

تاریخ دریافت: ۹۱/۱۲/۱۵ تاریخ پذیرش: ۹۱/۱۲/۱۵ در دسترس به صورت الکترونیکی از: ۱۳۹۲/۶/۲۰

### چکیده

پوشن‌های هیبریدی آلی-معدنی با نانوذرات هسته/پوسته  $\text{TiO}_2\text{-SiO}_2$  به منظور توسعه پوشن‌های خودتمیزشونده و مقاوم در برابر خوردگی تهیه شدند. نانوذرات  $\text{TiO}_2$  آناناژ توسط روش سل-زل در دو شرایط دمای بالا و دمای پایین تهیه شده و جهت تایید ساختار بلوری به وسیله آزمون تفرق پرتوایکس مورد بررسی قرار گرفت. برای بررسی اندازه و شکل ذرات در سل  $\text{TiO}_2$  بی‌شکل و نیز برای مشاهده خدامت لایه سیلانی بر روی نانوذرات آناناژ از آزمون میکروسکوپ الکترونی عبوری استفاده شد. فعالیت فوتوكاتالیستی پوشن‌ها توسط تخریب متیلن آبی تحت نور فرابنفش بررسی و با نمونه شامل دی‌اکسید تیتانیم صنعتی دگوسا P25 مقایسه شد. نتایج نشان داد که فعالیت فوتوكاتالیستی پوشن‌ها به میزان بلورینگی و اندازه نانوذرات آناناژ مربوط می‌شود. برای بررسی تاثیر فعالیت فوتوكاتالیستی بر میزان مقاومت خوردگی پوشن‌ها، نمونه‌ها به مدت ۱۰۰ ساعت در معرض نور فرابنفش قرار داده شد. نمودارهای تألف نمونه‌ها نشان داد که هرچه فعالیت فوتوكاتالیستی پوشن بیشتر باشد به همان اندازه از میزان مقاومت خوردگی پوشن با گذشت زمان در معرض نور فرابنفش کاسته می‌شود.

واژه‌های کلیدی: پوشن‌های هیبریدی، خوردگی، سل-زل، فوتوكاتالیست، نانوذرات هسته/پوسته، آناناژ.

## Photocatalyst Nanocomposite Hybrid Coatings Based on $\text{TiO}_2\text{-SiO}_2$ Core/Shell Nanoparticles: Preparation and Investigation of Weathering and Corrosion Resistance

H. Abdollahi<sup>1</sup>, A. Ershad-Langroudi<sup>\*1</sup>, A. Salimi<sup>1</sup>, A. Rahimi<sup>2</sup>

<sup>1</sup> Polymer Processing Department, Iran Polymer and Petrochemical Institute, P.O.Box: 14965/115, Tehran, Iran.

<sup>2</sup> Polymer Science Department, Iran Polymer and Petrochemical Institute, P.O.Box: 14965/115, Tehran, Iran.

Received: 03-06-2012

Accepted: 05-03-2013

Available online: 10-06-2013

### Abstract

Inorganic-organic hybrid coatings with  $\text{TiO}_2\text{-SiO}_2$  core/shell nanoparticles were prepared in order to develop the self-cleaning and corrosion resistant coatings. As proved in XRD test, the anatase  $\text{TiO}_2$  nanoparticles were prepared by sol-gel method in two different thermal conditions namely high temperature and low temperature process. The size and the shape of the particles in amorphous  $\text{TiO}_2$  sol and the thickness of  $\text{SiO}_2$  layer on the anatase nanoparticles revealed a core/shell structure by transmission electron microscopy. The photocatalytic activities of the coatings using the prepared  $\text{TiO}_2\text{-SiO}_2$  nanoparticles were investigated via the decomposition of methylene blue (MB) under UV-radiation and compared with those samples prepared using commercial  $\text{TiO}_2$ , i.e. P25 Degussa. It was found that the photocatalytic activity of the coatings was significantly attributed to the crystallinity and the particle size of anatase nanoparticles. To find out the effect of photocatalytic activity on the corrosion resistance, the nanocomposites coatings were exposed under UV for 1080 h. The Tafel curves of the samples showed lower corrosion resistance for the coatings of higher photocatalytic activity. J. Color Sci. Tech. 7(2013), 151-164©. Institute for Color Science and Technology.

**Keywords:** Hybrid coatings, Corrosion, Sol-gel, Photocatalyst, Core/shell nanoparticles, Anatase.

\*Corresponding author: [a.ershad@ippi.ac.ir](mailto:a.ershad@ippi.ac.ir)

کشف شد. از آن سال به بعد تحقیقات گستردگی در این زمینه آغاز شد که منجر به گسترش زمینه‌های کاربردی این ماده در فوتولوپتاییک، فوتوكاتالیست، فوتوكرومیک و حسگر گردید [۷، ۸]. به خاطر پایداری بیولوژیکی و شیمیایی نیمه هادی دی‌اکسید تیتانیم، از خاصیت فوتوكاتالیستی تحت تابش نور فرابینفس برای تجزیه بسیاری از مواد شیمیایی خطرناک، کاهش یون‌های فلزات سنگین، تخریب نوری باکتری و ویروس استفاده می‌شود [۹]. دی‌اکسید تیتانیم سه حالت بلوری دارد که شامل ساختارهای بلوری آناتاز، روتایل و بروکلیت است که هر کدام ساختار و خصوصیت متفاوتی دارد [۱۰]. تحقیقات انجام شده توسط مولفین نشان می‌دهد که ساختار روتایل پایدارترین ساختار بعد از عملیات حرارتی در دمای بالاتر از  $800^{\circ}\text{C}$  بوده و در دماهای بین  $450-650^{\circ}\text{C}$  و  $800-850^{\circ}\text{C}$  به ترتیب ترکیبی از روتایل-آناتاز و آناتاز پایدار هستند. روش‌های مختلفی برای تهیه دی‌اکسید تیتانیم فوتوكاتالیست استفاده می‌شود که هر کدام نتیجه متفاوتی در پی دارد. به علت کثیر روش‌های سنتز و عوامل دخیل در آن، تقسیم‌بندی آنها به گروه‌های مشخص مشکل است. به هر حال می‌توان این روش‌ها را به دو دسته کلی تقسیم‌بندی کرد: روش شیمی تر مانند روش سل-ژل و روش‌های خشک مانند روش ایروسل. روش شیمی تر رایج‌ترین روش برای سنتز این مواد هستند. نکتور و همکارانش [۱۱] با استفاده از روش سل-ژل اقدام به سنتز نانوذرات دی‌اکسید تیتانیم آناتاز از پیش ماده‌های تیتانیم ایزوپروکساید و تیتانیم اتوکساید کرده و از آنها در پوشش هیبرید آلی-معدنی تشکیل شده از GPTMS استفاده نمودند. آنان از این پوشش در منسوجات خود تمیز شونده استفاده نمودند. در تحقیقی دیگر یو و همکارانش [۱۲] از نانوذرات دی‌اکسید تیتانیم آناتاز صنعتی P25 در سه نوع پوشش آلی، آلی-معدنی و معدنی استفاده نمودند و مشاهده کردند بیشترین فعالیت فوتوكاتالیستی در پوشش آلی حاصل می‌شود. از طرفی متوجه شدند که تخریب مواد آلی موجود در خود پوشش، غیر قابل اجتناب است.

تاکنون بسیاری از محققین نشان دادند که فیلم حاوی ذرات  $\text{TiO}_2$  می‌تواند به عنوان یک پوشش محافظ عمل کند [۱۳، ۱۴]. امروزه از پوشش‌های حاوی  $\text{TiO}_2$  آناتاز به دلیل خواص فوتوكاتالیستی به عنوان پوشش‌های محافظ نیز استفاده می‌شود. در اثر تابش نور فرابینفس زوج‌های الکترون-حفره در ذرات آناتاز ایجاد می‌شود. این الکترون‌ها به سطح فلز منتقل شده و سبب محافظت کاتدی سطح بستر فلز در مقابل خوردگی می‌شوند [۱۳]. به این ترتیب این نانو پرکنده‌ها می‌توانند اثر حائلی در پوشش ایجاد نمایند، همچنین از طریق حفاظت کاتدی می‌توانند در افزایش مقاومت خوردگی بستر فلزی ایفای نقش کنند [۱۵].

در بررسی‌های مختلفی تاثیر نانوذرات دی‌اکسید تیتانیم آناتاز بر روی خواص مقاومت خوردگی پوشش‌هایی از جمله پلی آنیلین [۱۶]

## ۱- مقدمه

فرآیند خوردگی یکی از مشکلات برجسته دنیای امروز است که موجب زوال و تخریب سازه‌های فلزی مانند آلومینیم از طریق تغییرات شیمیایی و الکتروشیمیایی می‌شود. جلوگیری کامل از خوردگی غیرممکن است ولی می‌توان با به کارگیری روش‌های مناسب کنترل خوردگی، از شدت آن کاست [۱]. در گذشته جهت جلوگیری از خوردگی سطح آلیاژ آلومینیم، از روش اصلاح سطح برای ایجاد لایه روین بر روی سطح آلیاژ آلومینیم استفاده می‌شد. از انواع متدالو این روش می‌توان به لایه‌های تشکیل شده بر پایه کرومات که معمولاً از مخلوط اسید کرومیک و نمک کرومیم محلول تهیه می‌شدن، اشاره کرد. نتیجه واکنش اکسیداسیون-احیاء این مخلوط و سطح آلومینیم، تشکیل لایه کرومیم سه ظرفیتی غیر قابل حل در آب و ترکیب کرومیوم شش ظرفیتی محلول است [۲]. با وجود اینکه این لایه تشکیل شده در مقابل خوردگی بسیار موثر است ولی نباید فراموش کرد که ترکیب کرومیم شش ظرفیتی سمی بوده و منجر به ایجاد آلدگی خطرناک در محیط می‌شود [۳]. به همین دلیل مطالعات گستردگی در این زمینه انجام شده و هنوز نیز ادامه دارد که نتیجه آنها منجر به تهیه پوشش‌های مختلف برای جایگزین کردن با این ترکیبات سمی است [۴]. اخیراً محققین متوجه شده‌اند که ترکیبات سیلانی نیز می‌توانند در برابر خوردگی فلزات مقاومت خوبی فراهم کنند [۵، ۱]. ترکیبات سیلانی اصلاح شده آلی (ormosersha<sup>1</sup>) مواد هیبریدی آلی-معدنی هستند که بوسیله واکنش‌های آبکافت-تراکم ترکیبات سیلیکاتی اصلاح شده آلی با پیش ماده آلکوکسیدی به روش سل-ژل تهیه می‌شوند. این مواد دارای خواص منحصر به فردی هستند که در نتیجه ادغام شیمیایی و مکانیکی جزء آلی و معدنی حاصل می‌شود. یکی از این ترکیبات، اورموسرهای اصلاح شده با ۳-گلیسیدوکسی پروپیل تری متوكسی سیلان (GPTMS) است که محققین کاربردهای مختلفی از آن گزارش کرده‌اند [۱-۵].

از طرفی استفاده از نانوذرات در پوشش‌های مختلف جهت افزایش مقاومت خوردگی آنها گزارش شده است. یکی از نانوذرات متدالو دی‌اکسید تیتانیم ( $\text{TiO}_2$ ) است. Weng<sup>2</sup> و همکارانش از نانوذرات  $\text{TiO}_2$  برای بهبود خواص خوردگی پوشش‌های پلی ایمیدی استفاده کردند و دریافتند که افزایش میزان این نانوذره (به دلیل ایجاد خاصیت حائل<sup>۲</sup> در برابر عبور عوامل خورنده از درون پوشش) موجب بهبود خواص مقاومت خوردگی می‌شود [۶].

نانوذرات دی‌اکسید تیتانیم علاوه بر اینکه می‌توانند خاصیت ضدخوردگی را در پوشش بهبود بدنه، دارای خواص فوتوكاتالیستی نیز هستند که در سال ۱۹۷۲ میلادی توسط فوجی شیما و هوندا

1- Ormoser

2- Barrier Property

(Merck) تهیه شدند. همچنین ترکیب  $n$ -متیل ایمیدازول به عنوان کاتالیزور واکنش پخت از شرکت فلوکا (Fluka) خریداری و مورد استفاده قرار گرفت. جهت انجام اثر مقایسه خواص مقاومت خودرگی و فوتوكاتالیستی نانوذرات سنتز شده از نانوذرات  $\text{TiO}_2$  AEROXIDE<sup>®</sup> تهیه شده از Degussa درصد آناتاز ۷۰٪ استفاده شده است. در تمام مراحل این تحقیق از آب دیونیزه استفاده شد.

## ۲-۲-روش کار

آماده‌سازی نانوذرات هسته/پوسته TiO2-SiO2: ابتدا به منظور کنترل واکنش آبکافت تترا- $n$ -بوتیل اورتو تیتانات عامل کی لیست‌ساز استیل استون در حلال اتانول اضافه شد. سپس تترا- $n$ -بوتیل اورتو تیتانات در مخلوط فوق رقیق شده و مخلوط حاصل به مدت ۳ ساعت با سرعت  $200\text{ rpm}$  در شرایط محیطی هم زده شد تا محلول زرد رنگ همگن حاصل شود. آبکافت تترا- $n$ -بوتیل اورتو تیتانات با افزودن تدریجی و قطره قطره محلول آب اسید ( $\text{pH}=2$ ) صورت گرفت. در ادامه برای رسیدن به ساختار بلوری آناتاز دی‌اسید تیتانیم به دو صورت اقدام شد. در حالت اول سامانه تحت نقطیر بازگشتی و هم زدن در محیط کنترل شده اسیدی و دمای  $80^\circ\text{C}$  به مدت ۸ ساعت قرار داده شد. در حالت دیگر سل سنتز شده بجای قرار گرفتن تحت نقطیر بازگشتی، در کوره تحت دمای  $500^\circ\text{C}$  به مدت یک ساعت قرار گرفت تا در اثر عملیات حرارتی به صورت ساختار آناتاز نوبلور شود. نانوذرات دی‌اسید تیتانیم عملیات حرارتی شده به صورت پودر نرم در آورده شد. از سوی دیگر برای تهیه سل دی‌اسید سیلیسیم ابتدا ترکیب تترا-اتیل اورتو سیلیکات در اتانول رقیق شده و برای همگن شدن به مدت ۱ ساعت سامانه با سرعت  $200\text{ rpm}$  در شرایط محیطی هم‌زده شد. آبکافت محلول با افزودن قطره قطره محلول آب اسید ( $\text{pH}=2$ ) و به مدت ۲ ساعت صورت گرفت. نسبت‌های مولی اتانول، استیل استون و آب به کار رفته برای تهیه محلول سل دی‌اسید تیتانیم به ترتیب  $1:1:1$ ،  $40:1$  و  $100:1$  است.

نانوذرات نقطیر بازگشتی شده به همان حالت سل در واکنش هسته/پوسته شدن استفاده شد و نانوذرات پودر آناتاز تهیه شده و در اتانول به نسبت  $1:40$  توسط فراصوت پخش و توزیع شدند. سه نمونه حاوی نانوذرات آناتاز به صورت جداگانه در سه سل از دی‌اسید سیلیسیم به نسبت مولی  $1:1$  اضافه شده و به مدت ۳۲ ساعت در دمای محیط و برای تکمیل واکنش تراکم نانوذرات دی‌اسید سیلیسیم بی‌شکل بر روی نانوذرات آناتاز به صورت جداگانه در سه سل از دمای  $50^\circ\text{C}$  تحت نقطیر بازگشتی و هم‌زدن قرار داده شدند. در میان سل‌های هسته/پوسته TiO2-SiO2، نمونه‌های حاوی نانوذرات آناتاز تهیه شده در دمای پایین توسط تکنیک نقطیر بازگشتی دارای شفافیت بالایی است. آماده‌سازی پوشش‌های نانوکامپوزیت هیبریدی: برای تهیه سل

شبکه پلیمری در هم تنیده سیلیکون-پلی بیرون [۱۷] و رزین پلیمری MP-۲۵ (کوپلیمر وینیل کلراید-وینیل ایزو بوتیل اتر) [۱۸] استفاده شده و به ترتیب بر روی سطوح آلیاژ آلومینیم  $2024-T3$ ، فولاد نرم و فولاد زنگنزن مورد بررسی قرار گرفته است. در تحقیقی جداگانه، اثر نانوذرات آناتاز هسته/پوسته روی افزایش مقاومت به خودرگی و پایداری حرارتی پوشش‌های هیبریدی نانوکامپوزیتی روی آلیاژ آلومینیم  $2024-T3$  مورد بررسی قرار گرفت و نشان داده شد این ذرات می‌توانند سبب بهبود کارآیی پوشش شوند [۱۹].

در چند دهه اخیر مطالعاتی در جهت افزایش خواص ضدخوردگی و قدرت فوتوكاتالیستی این نانوذرات انجام شده است. بدین منظور دی‌اسید تیتانیم را با ترکیباتی نظیر اکسید سیلیسیم اصلاح و مشاهده شده است که سبب بهبود خواص ضدخوردگی [۲۰] و فوتوكاتالیستی می‌شود [۲۱]. در این تحقیق پوشش‌های هیبرید آلی-معدنی بر پایه GPTMS با نانوذرات هسته/پوسته TiO2-SiO2 به منظور توسعه پوشش‌های خودتمیز شونده و مقاوم در برابر خودرگی تهیه شدند. نانوذرات TiO2 آناتاز توسط روش سل-ژل در دو شرایط دمای بالا و دمای پایین تهیه شد. از جمله نوآوری‌های این تحقیق تهیه ساختار آناتاز هسته/پوسته TiO2-SiO2 از نانوذرات آناتاز فوق و استفاده از آنها در پوشش‌های هیبریدی جهت تهیه پوشش‌های فوتوكاتالیست است. علاوه بر این پوشش‌های فوق مقاومت خودرگی خوبی در برابر محیط خورنده بستر فلزی (آلیاژ آلومینیم  $1050$ ) دارند که به واسطه حضور این نانوذرات است. از آنجا که فعالیت این نانوذرات به عنوان فوتوكاتالیست در اثر نور فرابنفش، موجب تغیر خود پوشش نیز می‌شود در این تحقیق اقدام به بررسی خواص مقاومت خودرگی این پوشش‌ها، قبل و بعد از قرار گرفتن در مععرض نور فرابنفش شد. در نهایت ساخت پوشش‌های فوق به منظور دستیابی به دو هدف زیر است:

- تهیه پوشش‌های آلی-معدنی شامل نانوذرات هسته/پوسته آناتاز-سیلیسیم به روش سل-ژل و مقایسه فعالیت فوتوكاتالیستی آنها با نمونه دارای نانوذرات آناتاز صنعتی  $2024$  دگوسا
- بررسی خواص هوازدگی و ضدخوردگی پوشش‌های تهیه شده و تاثیر نور فرابنفش بر میزان مقاومت خودرگی این پوشش‌ها

## ۲-بخش تجربی

### ۲-۱-مواد

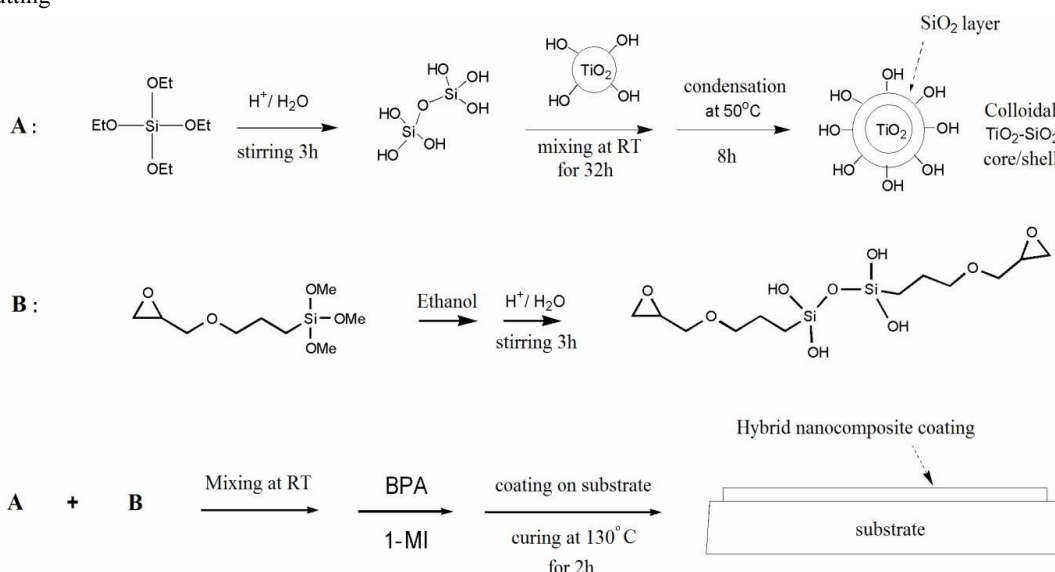
در این تحقیق از ترکیب GPTMS به عنوان رزین آلی-معدنی از شرکت آلفا ایسر تهیه و استفاده شد. ترکیبات تترا- $n$ -بوتیل اورتو تیتانات و تترا اتیل اورتو سیلیکات (به ترتیب به عنوان پیش ماده اولیه برای تهیه نانوذرات دی‌اسید تیتانیم هسته و دی‌اسید سیلیسیم پوسته)، بیس فنل آ (BPA)، اسید نیتریک ( $70\%$ ، استیل استون (AcAc) و اتانول با درجه خلوص بالا همگی از شرکت مرك

جدول ۱: ترکیب شیمیایی و نسبت‌های مولی به کار رفته برای تهیه پوشش‌های نانوکامپوزیت هیبریدی با نانو پرکننده‌های هسته/ $\text{SiO}_2$ / $\text{TiO}_2$ .

$\text{TiO}_2\text{ P25}$ /TEOS	$\text{Ti(O-n-}\text{Bu})_4$ /TEOS	GPTMS /BPA	GPTMS/ TEOS	نمونه
...	...	۲:۱	۸:۱	S۱
...	۱:۱	۲:۱	۸:۱	S۲
...	۱:۱	۲:۱	۸:۱	S۳
۱:۱	...	۲:۱	۸:۱	S۴

در مرحله بعد عمل حک شیمیایی قلیایی<sup>۱</sup> بر روی نمونه‌ها صورت گرفت، بدین ترتیب که نمونه‌ها درون محلول ۵ درصد وزنی سود سوز آور در آب مقطر در دمای  $60 \pm 5^\circ\text{C}$  به مدت ۳ دقیقه فرار گرفته و سپس سطح آنها توسط آب مقطر آبکشی شد. پس از این مرحله جهت برطرف نمودن رسوبات سطحی ناشی از عمل حک شیمیایی، نمونه‌ها در محلول ۵ درصد حجمی هیدروکلریک اسید در آب مقطر در دمای محیط به مدت ۱ دقیقه فرار گرفتند تا عمل رسوب زدایی سطحی<sup>۲</sup> صورت گیرد. در پایان پس از شستشوی سطح نمونه‌ها توسط آب مقطر، جهت چربی‌زدایی نهایی و از بین بردن آلودگی‌های احتمالی بر روی سطح آنها، از محلول هگزان/متانول (به نسبت حجمی ۱:۴۰) استفاده شد. لامهای شیشه‌ای با ابعاد  $24.5 \times 76.2 \times 1.2 \text{ nm}$  با آب مقطر و استون آبکشی و با هوای داغ قبل از پوشش دهنی کاملاً خشک شدند.

#### 1- Etching 2- Desmutting



شکل ۱: واکنش تهیه پوشش‌های نانوکامپوزیت هیبریدی با نانو پرکننده‌های هسته/ $\text{SiO}_2$ / $\text{TiO}_2$ .

ترکیب GPTMS بعد از رقیق کردن آن در اتانول و هم زدن به مدت ۱ ساعت در دمای محیط، واکنش آبکافت با اضافه کردن قطره قطره آب اسید انجام شد.

نانوذرات هسته/پوسته تهیه شده به محلول سل فوق افزوده شده و به مدت ۲۵ دقیقه با سرعت  $200 \text{ rpm}$  هم زده شد. پس از این مرحله، ترکیب بیس فنل آ جهت ایجاد پیوندهای عرضی بین گروههای اپوکسی ترکیب GPTMS، به محلول اضافه گردید و محلول به مدت ۳ ساعت به هم زده شد و در نهایت محلول شفاف و کاملاً تک فازی حاصل شد. در پایان جهت افزایش سرعت ایجاد پیوندهای عرضی و نیز افزایش سرعت فرآیند پخت، از کاتالیزور آمینی n-متیل ایمیدازول (به میزان ۱٪ وزنی نسبت به GPTMS) استفاده شد. پس از افزودن این ترکیب، محلول به مدت ۵ دقیقه دیگر هم زده شد و سپس جهت پوشش دادن بسترهای فلزی و لام شیشه‌ای به روش غوطه‌ورسانی، مورد استفاده قرار گرفت. شکل ۱ و جدول ۱ به ترتیب نمای واکنش و نسبت‌های مورد استفاده را نشان می‌دهد.

نانوذرات تهیه شده در دمای پایین (قططی بر بازگشتی شده)، دمای  $50^\circ\text{C}$ ، نانوذرات صنعتی P25 و نانوذرات هسته/پوسته تهیه شده از نانوذرات کلسینه شده در دمای  $50^\circ\text{C}$  به ترتیب با T2، T1 و TS2 نشان داده شده است. همچنین پوشش تهیه شده بدون نانوذرات هسته/پوسته و پوشش‌های دارای سه نانوذره فوق به ترتیب با کدهای S2، S1 و S3 مشخص شده‌اند.

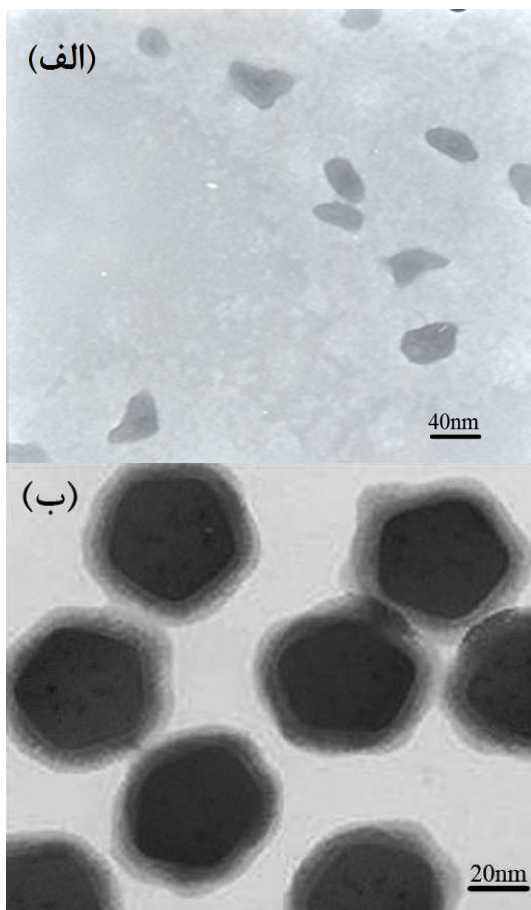
جهت آماده‌سازی نمونه‌های فلزی در ابتدا، سطح نمونه‌ها توسط کاغذ سنباده شماره ۴۰۰ و ۶۰۰ پولیش داده شده و سپس جهت حذف چربی‌ها و آلودگی توسط محلول شوینده و در انتها با آب مقطر سطح آنها شستشو داده شد.

۵ میلیولت بر ثانیه بر روی حداقل پنج الکترود تهیه شده از هر نمونه انجام شد. همچنین برای بررسی کیفی مقاومت پوشش‌های تهیه شده از آزمون پاشش مهـ-نمک ساخت شرکت PARS HORM مدل SY75V1۰.۹ مطابق با شرایط استاندارد ASTM B117 ( محلول ۵٪ وزنی نمک بدون ید و دمای  $1^{\circ}\text{C}$   $35 \pm 3$  ) انجام شد.

### ۳- نتایج و بحث

#### ۳-۱- اندازه ذرات

شکل ۲ تصویر میکروسکوپ الکترونی عبوری گرفته شده از سل حاوی نانوذرات قبل از واکنش بلوری شدن ( تصویر ۲-الف ) و نانوذرات هسته/پوسته TiO2-SiO2 ( تصویر ۲-ب ) را نشان می‌دهد. همان‌طور که در شکل ۲-الف مشاهده می‌شود ذرات دی‌اکسید تیتانیم تهیه شده قبل از واکنش بلوری شدن، به صورت بی‌شکل و اندازه ذرات آن



شکل ۲: تصویر میکروسکوپ الکترونی عبوری سل حاوی نانوذرات (الف) دی‌اکسید تیتانیوم بی‌شکل و (ب) هسته/پوسته TiO2-SiO2.

برای بررسی اندازه ذرات محلول سل دی‌اکسید تیتانیم، شکل نانوذرات تهیه شده و نیز مشاهده پوسته سیلانی بر روی نانوذرات دی‌اکسید تیتانیم آناتاز، از تصاویر میکروسکوپ الکترونی عبوری استفاده شد که توسط دستگاه PHILIPS مدل CM1۲۰ ساخت کشور هلند و با ولتاژ شتابدهنده ۱۲۰ KV ۱۲۰ اندازه‌گیری شد. جهت اندازه‌گیری اندازه سطح موثر ذرات و تاثیر واکنش هسته/پوسته شدن در این ویژگی از ذرات از آزمون BET توسط دستگاه CHEMBET Quantachrom ۳۰۰۰ استفاده شد.

جهت ترسیم طیف‌های زیر قرمز از دستگاه اسپکتروفوتومتر بروکر (FT-IR Equinox ۵۵) در محدوده  $4000-400\text{ cm}^{-1}$  استفاده شد. برای بررسی ساختار بلوری نانوذرات سنتز شده از روش تفرق پرتو XRD; PW ۱۸۰۰ PHILIP استفاده گردید. از دستگاه میکروسکوپ الکترونی روپیشی مدل Tescan VEGA-II برای بررسی ریخت‌شناسی سطح پوشش و اندازه‌گیری ضخامت آن استفاده شد.

در این تحقیق برای بررسی میزان تخریب نمونه‌ها تحت نور فرابنفش، نمونه‌ها در دستگاه شرایط جوی تسریع شده ( QUV/Spray ) ساخت Q-Panel طبق استاندارد D4587 ASTM به مدت ۱۰۸۰ و ۱۵۰۰ ساعت قرار داده شد. طبق استاندارد فوق نحوه کار دستگاه تحت سیکل تابش لامپ A فلورسنت UV با طول موج ۳۴۰ نانومتر باشد تابش  $W/m^2$  ۰.۸۹ به مدت ۸ ساعت در دمای  $60^{\circ}\text{C}$  و به مدت ۴ ساعت در رطوبت ۱۰۰٪ و بدون نور در دمای  $50^{\circ}\text{C}$  است. برای بررسی مقاومت خوردگی فلز پوشش‌دار از روش‌های مختلفی از جمله طیفسنجی امپدانس (ac) (کتروشیمیایی EIS) [۲۲، ۲۲] روش مستقیم (dc) (کتروشیمیایی (منحنی پلاریزاسیون یا تافل) [۲۶-۲۶] و آزمون کیفی مهـ-نمک [۲۷، ۴] استفاده می‌شود. در این پژوهش از روش مستقیم کتروشیمیایی و آزمون مهـ-نمک برای بررسی مقاومت خوردگی پوشش‌های تهیه شده بر روی سطح فلز آلیاژ آلومینیم، استفاده شد. جهت انجام آزمون کتروشیمیایی، از یک سل سه الکترودی که شامل الکترود کار، الکترود مرجع (Ag/AgCl) و الکترود کمکی پلاتین است، استفاده شد. الکترود کار شامل یک نمونه پوشش داده شده و یا بدون پوشش از آلیاژ آلومینیم بود که لبه‌های نمونه‌ها توسط موم طبیعی<sup>۱</sup> پوشیده شده است به طوری که یک قسمت  $1\text{ cm}^2$  از آن در معرض محلول ۵٪ کلرید سدیم برای انجام آزمایشات کتروشیمیایی قرار گرفت. برای رسیدن به پتانسیل مدار باز (OCP) ثابت، نمونه‌ها به مدت چهار ساعت در محلول آب-نمک قرار داده شدند. اندازه‌گیری‌های کتروشیمیایی با استفاده از سامانه Autolab شامل پتانسیواستات و در محدوده ۲۵۰-۲۵۰ تا  $+250^{\circ}\text{C}$  میلیولت نسبت به پتانسیل مدار باز با سرعت روبش

<sup>۱</sup>- Bees wax

### ۲-۳- طیف‌سنجی زیر قرمز تبدیل فوریه

تحلیل طیف‌سنجی زیر قرمز تبدیل فوریه سل سنتز شده قبل و بعد از واکنش آبکافت در شکل ۳ در محدوده  $400\text{--}4000\text{ cm}^{-1}$  نشان داده شده است. در شکل ۳ پیک جذب گستردگی که در محدوده  $3400\text{ cm}^{-1}$  دیده می‌شود در نتیجه ارتعاش کششی گروه O-H است [۲۸]. همچنین پیک مشاهده شده در محدوده  $1600\text{--}1640\text{ cm}^{-1}$  مربوط به آب موجود در سامانه است. این پیک‌های جذبی مربوط به ارتعاشات خمشی قیچی مانند و رفت و برگشتی مولکول آب است [۲۹، ۳۰]. همان‌طور که در طیف ۳ مشاهده می‌شود پیک‌های شاخص مربوط به گروه‌های آلکوکسیدی (OR) ترکیب تترا-بوتیل اورتوتیتانات در  $1125\text{, }1070\text{, }1040\text{ cm}^{-1}$  ظاهر می‌شود. از آنجایی که در طیف مربوط به حلال (اتانل) ظاهر شده است، می‌توان نتیجه گرفت که آبکافت به طور کامل انجام شده است. در طیف فوق پیک‌های مشاهده شده در محدوده  $400\text{--}800\text{ cm}^{-1}$  مربوط به گروه‌های Ti-O-Ti و Ti-O است [۳۱، ۳۲].

برای بررسی تاثیر نور فرابینفش در مدت زمان  $1080$  ساعت، از نمونه S3 در دو حالت قبل و بعد از قرار گرفتن در معرض نور فرابینفش طیف‌سنجی زیر قرمز تبدیل فوریه انکاسی (ATR-FTIR) در محدوده  $400\text{--}4000\text{ cm}^{-1}$  به عمل آمد. نتایج طیف‌سنجی نمونه در دو حالت قبل و بعد از قرار گرفتن در دستگاه شرایط جوی تسریع شده در شکل ۴-الف و ۴-ب نشان داده شده است.

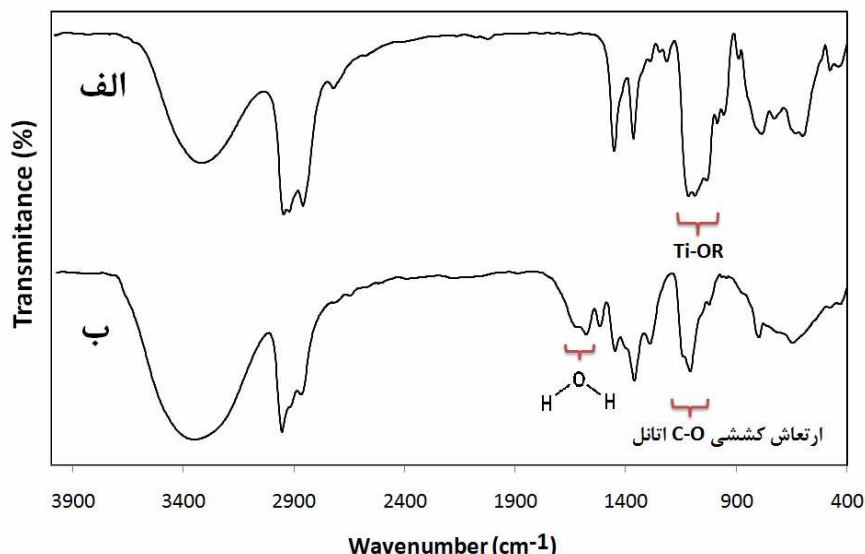
حدود  $35$  نانومتر است. در حالی که در شکل ۲-ب ذرات دارای شکل منظم پنج وجهی هستند که احتمالاً نشان دهنده حالت بلورینه و منظم ذرات و تشکیل بلورهای آناتاز در طی تقطری بازگشته است. علاوه براین، شکل ۲-ب به خوبی تشکیل لایه سیلانی بر روی ذرات دی‌اکسید تیتانیم را نشان می‌دهد. طبق این تصویر ضخامت لایه سیلانی تشکیل شده بر روی هسته تیتانی طی مراحل ذکر شده حدود  $15$  نانومتر است.

تشکیل لایه سیلانی بر روی ذرات دی‌اکسید تیتانیم موجب تغییر سطح موثر ذرات خواهد شد. برای بررسی این تغییرات، اندازه سطح موثر ذرات کلسینه شده در دمای  $500^{\circ}\text{C}$  را قبل و بعد از واکنش هسته/پوسسه شدن توسط آزمون BET اندازه‌گیری شد. نتایج در جدول ۲ نشان داده شده است. طبق این نتایج به دست آمده مشاهده می‌شود که با تشکیل لایه سیلانی بر روی هسته دی‌اکسید تیتانیم اندازه سطح موثر ذرات به طور قابل ملاحظه‌ای افزایش یافته است.

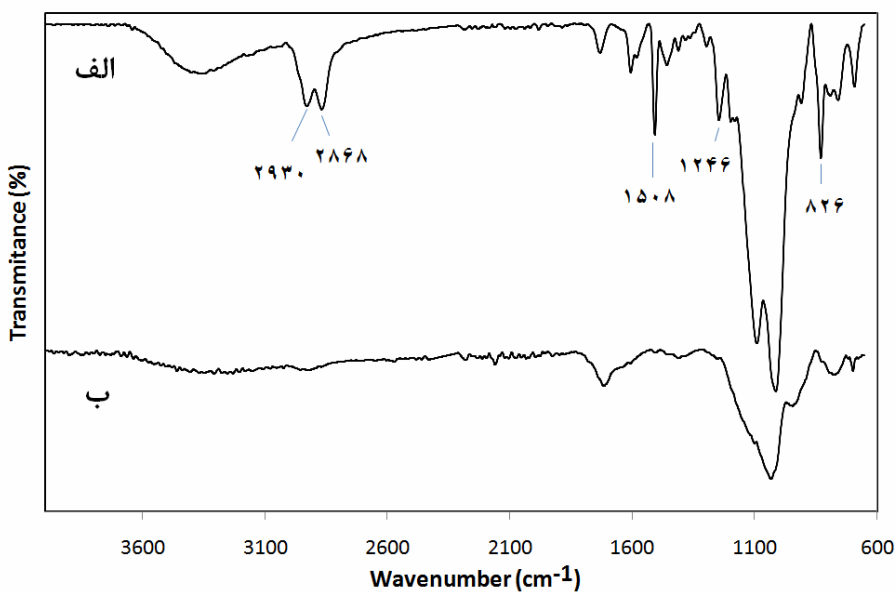
جدول ۲: نتایج حاصل از آزمون BET و XRD

نانو ذره بلوری	نوع فاز	مساحت سطح موثر ( $\text{m}^2/\text{g}$ )
T1	آناتاز	۲۷۸,۵۳
T2	آناتاز	۷۸,۳۶
T3*	آناتاز-روتایل	۵۱,۲۱
TS2	آناتاز	۱۳۶,۵۸

\* طبق اطلاعات مربوط به محصول، فاز بلوری آن آناتاز-روتایل و مساحت سطح موثر برابر  $50\pm 15$  ذکر شده است. ( $\text{m}^2/\text{g}$ )

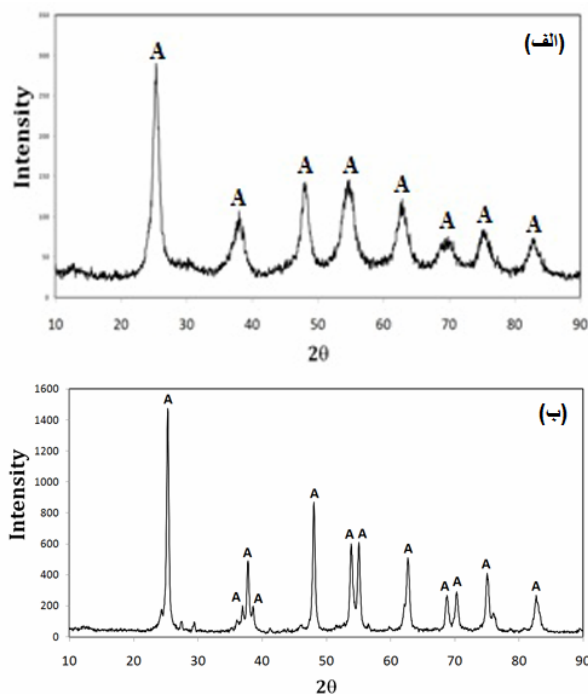


شکل ۳: نمودار طیف‌سنجی زیر قرمز تبدیل فوریه (الف) تترا-بوتیل اورتوتیتانات و (ب) سل بعد از واکنش آبکافت.



شکل ۴: نمودار طیف‌سنجی ATR-FTIR نمونه S۳ (الف) قبل و (ب) بعد از قرار گرفتن در معرض نور فرابنفش به مدت ۱۰۸۰ ساعت.

محققین نشان دادند که با افزایش دما تا  $650^{\circ}\text{C}$  میزان بلورینگی افزایش می‌یابد و از این دما به بعد تبدیل فاز بلوری از آناتاز به روتایل اتفاق می‌افتد [۳۰، ۳۴]. اندازه بلور نانوذرات به دست آمده از پهنای پیک شاخص ۲۵,۳۱ درجه برای نانوذرات مورد استفاده در نمونه‌های S۲ و S۳ به ترتیب برابر ۲۸ و ۴۹ نانومتر تخمین زده شد.



شکل ۵: الگوهای تفرق نور نانوذرات آنیل شده در (الف) تقطیر بازگشتی تحت دمای  $80^{\circ}\text{C}$  و (ب) دمای  $500^{\circ}\text{C}$ .

در شکل ۴-الف پیک‌های موجود در محدوده  $1400-1600\text{ cm}^{-1}$  مربوط به جذب‌های کششی  $\text{C}=\text{C}$  حلقه‌های آروماتیک عامل پخت بیس فنل آ به صورت جفتی است و ارتعاش خمشی خارج از صفحه‌ای (OOP) پیوند  $\text{C-H}$  در  $826\text{ cm}^{-1}$  ظاهر شده است. همچنین پیک‌های ظاهر شده در  $1246\text{ cm}^{-1}$  و محدوده  $2930-2868\text{ cm}^{-1}$  به ترتیب مربوط به ارتعاش کششی پیوندهای  $\text{C-O}$  و  $\text{C-H}$  ترکیب آلی-معدنی است [۳۳]. با مقایسه دو طیف به دست آمده مشاهده می‌شود که در اثر تابش نور فرابنفش در حضور نانوذرات هسته/پوسته پیک‌های مربوط به پیوندهای موجود در پوشش به طور کامل حذف شده است که این نتیجه نشان‌دهنده گسسته شدن پیوندها و تخریب پوشش است.

### ۳-۳-آزمون تفرق پرتو ایکس

الگوهای تفرق پرتو ایکس نانوذرات دی‌اکسید تیتانیم تهیه شده، در شکل ۵ نشان داده شده است. بررسی‌ها تشکیل فاز بلور از نانوذرات بی‌شک موجود در سل را تأیید می‌کند. زوایای تفرق  $2\theta$  نانوذرات T۱ و T۲ در  $37,81$ ،  $53,91$  و  $25,31$  درجه است که به ترتیب نشان‌دهنده صفحات (۱۰۱)، (۰۰۰۴) و (۰۰۵) مربوط به ساختار بلوری آناتاز می‌باشد. بنابراین از هر دو حالت به فاز بلوری آناتاز دی‌اکسید تیتانیم می‌توان دست یافت با این تفاوت که در حالت آنیل کردن تحت تقطیر بازگشتی به ذراتی با اندازه بلورهای ریز منجر می‌شود که حاصل آن سل شفاف از ذرات آناتاز می‌باشد. در صورتی که نانوذرات آیل شده در دمای بالا ( $500^{\circ}\text{C}$ ) منجر به نانوذرات با بلورینگی بالا می‌شود.

دست آمد، به روشی می‌توان دریافت که خاصیت فوتوكاتالیستی تاثیر چشم‌گیری بر پایداری پوشش‌ها از خود نشان می‌دهد. همان‌طور که از شکل می‌توان مشاهده کرد نمونه S1 کمترین تخریب در اثر تابش نور فرابنفش را دارد در حالی که در نمونه‌های دارای نانوذرات هسته/پوسته  $\text{TiO}_2\text{-SiO}_2$  این تخریب به مراتب بیشتر شده است. در بین نمونه‌های که دارای هسته/پوسته  $\text{TiO}_2\text{-SiO}_2$  هستند نمونه S3 به همان ترتیب که دارای بیشترین قدرت فوتوكاتالیستی بود، بیشترین تخریب را نیز متحمل شده است. وجود حفره‌ها و ترک‌ها در سطح در تصویر میکروسکوپ الکترونی رویشی<sup>۷</sup> موید این تاثیرات فوتوكاتالیستی است. در حالی که اندازه و تعداد این حفره‌ها و ترک‌ها در تصاویر میکروسکوپ الکترونی رویشی مربوط به نمونه‌های S2 و S4 کمتر بوده و در بین این دو نمونه S2 کمترین تخریب را متحمل شده است. عکس‌های تهیه شده از سطح نمونه‌های S3 و S4 بعد از قرار گرفتن نمونه‌ها در دستگاه شرایط جوی تسریع شده به مدت ۱۵۰۰ ساعت در شکل ۸ تخریب پوشش S3 را به خوبی تایید می‌کند. همچنین تصاویر میکروسکوپ الکترونی رویشی گرفته شده از سطح مقطع لام شیشه‌ای (۷-ز) و آلیاژ آلومینیم ۱۰۵۰ (۷-ج) نشان‌دهنده اتصال خوب پوشش بر روی این سطوح و ضخامت حدود ۱۰ و ۲۰ میکرومتری پوشش هیبریدی (از نمونه S1) اعمال شده به ترتیب بر روی لام شیشه‌ای و آلیاژ آلومینیومی به روش پوشش دهی غوطه‌ورسازی را نشان می‌دهد.

### ۶-۳-بررسی مقاومت خوردگی پوشش‌های تهیه شده

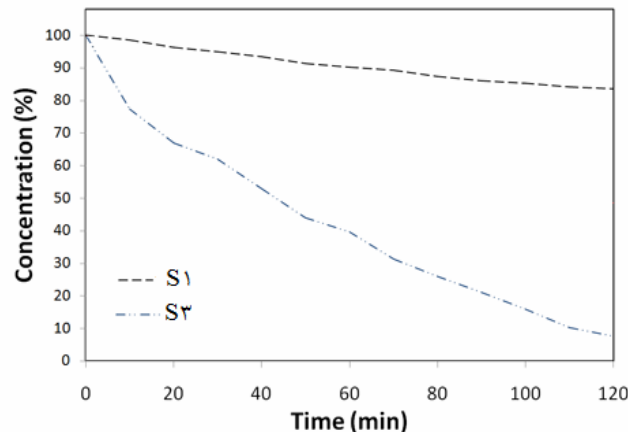
#### ۶-۳-۱-آزمون پاشش مه-نمک

مقاومت خوردگی نمونه‌ها به کمک آزمایش پاشش مه-نمک به مدت ۱۰۸۰ ساعت و مطابق با استاندارد ASTM B117 بررسی و بر اساس استاندارد ASTM D1654-۰۵ ارزیابی شد. آزمون روی هر نمونه که شامل دو پلیت بود انجام شد. پلیت‌ها بعد از آماده‌سازی از کناره‌ها بوسیله موم طبیعی پوشیده شد. توسط تیغ بر روی سطح صفحه خراشی به صورت ضربه زده شد و نمونه‌ها در مخزن دستگاه و در معرض مه-نمک قرار گرفتند. مطابق استاندارد فوق. ارزیابی نمونه از صفر تا ده است و نمونه‌های S1، S2، S3 و S4 به ترتیب ۳، ۵، ۱۰ و ۸ ارزیابی شدند. مشاهدات حاکی از مقاومت بهتر نمونه S3 در میان بقیه نمونه‌ها است. چون این آزمایش جنبه کیفی دارد عکس نمونه‌ها در شکل ۹ به صورت تابعی از زمان آزمون آورده شده است.

همان‌طور که از شکل ۹ می‌توان مشاهده نمود ضعیفترین نمونه در برابر خوردگی نمونه S1 است و این نشان می‌دهد وجود نانوذرات هسته/پوسته  $\text{TiO}_2\text{-SiO}_2$  موجب افزایش مقاومت خوردگی در نمونه‌های S3، S2 و S4 نسبت به نمونه فاقد این نانوذرات شده است. در بین سه نمونه فوق، نمونه S2 به عنوان ضعیفترین نمونه عمل کرده است و با گذشت زمان از چندین محل علامت زده شده مورد

### ۴-۴-بررسی اثر فوتوكاتالیستی پوشش‌ها

یکی از مشخصه‌های ویژه ساختار بلوری آناتاز نانوذرات دی‌اکسید تیتانیوم، خاصیت فوتوكاتالیستی آنها است که در سامانه پوشش‌های خود تمیز شونده و یا به صورت لایه نازک از آنها استفاده می‌شود [۱۱، ۳۵]. ساختار بلوری، اندازه سطح موثر (که رابطه عکس با اندازه ذرات دارد) و وجود ساختارهای متخلخل از عوامل موثر در میزان خاصیت فوتوكاتالیستی نانوذرات دی‌اکسید تیتانیم آناتاز است [۳۶]. تغییرات غلظت متیلن آبی به صورت تابعی از زمان در حضور پوشش‌های S1 و S3 در شکل ۶ نشان داده شده است. همان‌طور که از این شکل می‌توان دریافت تجزیه متیلن آبی بدون حضور فوتوكاتالیست حتی بعد از ۱۲۰ دقیقه قابل توجه نیست اما با استفاده از پوشش S3 بعد از ۱۵۰ دقیقه تجزیه تقریباً کاملاً صورت گرفته است. در مورد تهیه و بررسی نمونه‌ها و مطالعه تفاوت قدرت فوتوكاتالیستی آنها با هم در مقاله قبلی به طور کامل بحث شده است [۳۷].



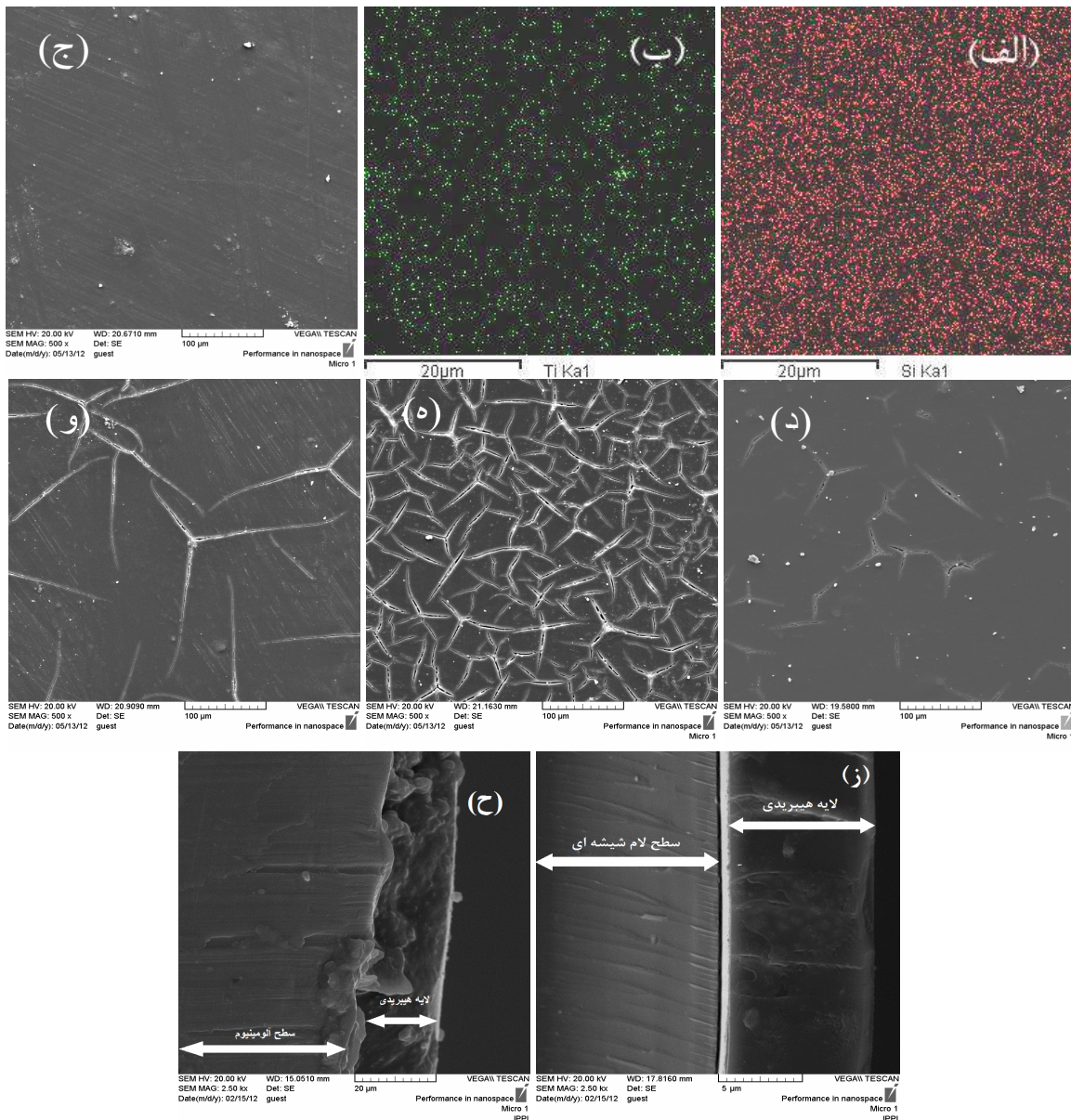
شکل ۶: بررسی اثر فوتوكاتالیستی پوشش‌های هیبریدی تهیه شده با نانوپرکننده‌های هسته/پوسته  $\text{TiO}_2\text{-SiO}_2$ .

### ۵-۳-بررسی ریختشناسی توسط میکروسکوپ الکترونی

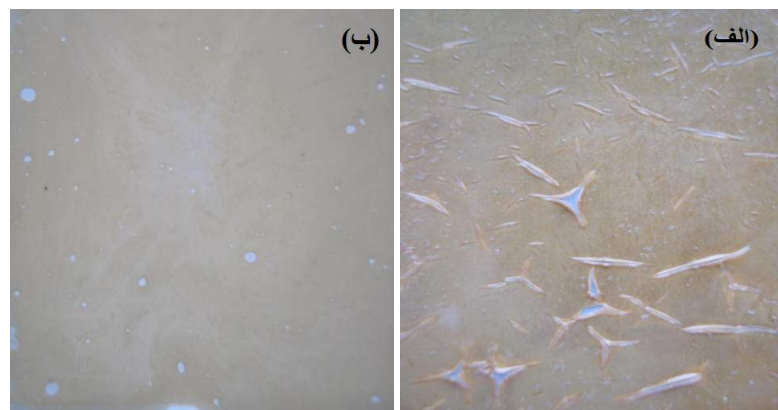
رویشی و روش انرژی تفرق فلورسانس پرتو ایکس (EDXRF) شکل ۷ تصاویر میکروسکوپ الکترونی رویشی و روش انرژی تفرق فلورسانس پرتو ایکس (EDXRF) از سطح نمونه‌های آلومینیم بعد از قرار گرفتن در دستگاه شرایط جوی تسریع شده و همچنین سطح مقطع نمونه‌های لام شیشه‌ای و آلومینیم پوشش داده شده را نشان می‌دهد. شکل‌های ۷-الف و ۷-ب مربوط به تصاویر ذرات دی‌اکسید تیتانیم و نمونه S2 است و به خوبی توزیع خوب ذرات را نشان می‌دهد. شکل‌های ۷-ج و ۷-د به ترتیب مربوط به نمونه‌های S1، S2، S3 و S4 بعد از قرار گرفتن در دستگاه شرایط جوی تسریع شده به مدت ۱۰۸۰ ساعت است. براساس آنچه از تصاویر و نتایج حاصل از تخریب متیلن آبی به

باعث طولانی‌تر شدن مسیر نفوذ عوامل خورنده نظری رطوبت و اکسیژن در پوشش می‌شود) نسبت به نمونه S۴ دارای مقاومت خوبی در برابر خوردگی می‌باشد. مقایسه نمونه‌ها مطابق استاندارد ASTM D1654-05 در جدول ۳ انجام شده است.

تهاجم مه-نمک قرار گرفته است. دلیل این امر وجود استینل استون و حلال می‌باشد که موجب آبدوسی و ایجاد تخلخل می‌شود [۳۸] ولی دو نمونه S۳ و S۴ به دلیل نداشتن استینل استون و حلال اضافی مقاومت به خوردگی بهتری از خود نشان می‌دهند. در بین دو نمونه فوق نیز نمونه S۳ به دلیل دارا بودن نانوذرات با اندازه ذرات ریزتر (که



شکل ۷: تصویر EDXRF (الف) Si و (ب) Ti از سطح نمونه S۲ تصویر سطح پوشش‌های (ج) S۱، (د) S۲، (ه) S۳ و (و) S۴ بعد از قرار گرفتن در دستگاه شرایط جوی تسریع شده به مدت ۱۰۸۰ ساعت با میکروسکوپ الکترون روبشی. تصویر سطح مقطع پوشش S۱ بر روی سطوح (ز) لام شیشه‌ای و (ح) آلیاژ آلومینیم



شکل ۸: عکس‌های مربوط به سطح پوشش‌های (الف) S۳ و (ب) S۴ بعد از قرار در دستگاه شرایط جوی تسریع شده به مدت ۱۵۰۰ ساعت.

نمونه‌ها زمان آزمون	آلیاژ آلومینیم بدون پوشش				
	S۱	S۲	S۳	S۴	
قبل از آزمون					
۱۶۸ ساعت					
۵۰۴ ساعت					
۱۰۸۰ ساعت					

شکل ۹: عکس نمونه‌ها به صورت تابعی از زمان آزمون پاشش مه‌نمک.

جدول ۴: مقادیر پارامترهای خوردگی به دست آمده از آزمون الکتروشیمیایی انجام شده بر روی نمونه‌ها.

قبل از قرار گرفتن در دستگاه شرایط جوی تسریع شده			
P%	E <sub>corr</sub> (V)	i <sub>corr</sub> (A cm <sup>-2</sup> )	نمونه
%۸۲,۲۷	-۰,۸۱۱۰	$1,۹۹۵ \times 10^{-۸}$	S1
%۸۹,۱۰	-۰,۶۰۹۷	$۳,۹۴۸ \times 10^{-۹}$	S2
%۹۸,۳۲	-۰,۳۴۶۵	$۲,۵۸۱ \times 10^{-۱۱}$	S3
%۹۲,۷۶	-۰,۵۲۸۴	$۳,۶۵۴ \times 10^{-۱۰}$	S4

بعد از قرار گرفتن در دستگاه شرایط جوی تسریع شده			
P%	E <sub>corr</sub> (V)	i <sub>corr</sub> (A cm <sup>-2</sup> )	نمونه
%۷۳,۱۴	-۰,۹۳۷۷	$۶,۱۰۱ \times 10^{-۷}$	S1
%۶۸,۶۱	-۰,۷۷۴۴	$۳,۶۵۴ \times 10^{-۶}$	S2
%۵۷,۲۳	-۰,۸۱۰۹	$۲,۵۲۴ \times 10^{-۴}$	S3
%۶۱,۷۶	-۰,۸۲۸۷	$۵,۹۴ \times 10^{-۵}$	S4

با توجه به نمودارهای تألف در شکل ۱۰ می‌توان مشاهده کرد که با اضافه شدن نانوذرات هسته/پوسته  $\text{TiO}_2\text{-SiO}_2$  به ترکیب هیبرید آلی-معدنی موجب کاهش شدت جریان خوردگی و نیز جابجایی پتانسیل خوردگی در جهت مقادیر مثبت نسبت به پتانسیل خوردگی حاصل از نمونه S1 می‌شود. در بین سه نمونه شامل نانوذرات، بهترین مقاومت خوردگی را نمونه S3 دارد که دلیل آن وجود نانوذرات با اندازه کوچکتر و در نتیجه سطح موثر بالاتر نسبت به نمونه S4 است. در مقابل نمونه S2 ضعیفتر از دو نمونه دیگر عمل کرده است که دلیل آن وجود ترکیب استیل استون و حلal اضافی در سامانه و مستعد بودن شرایط برای نفوذ مواد خورنده مانند روبوت و یون‌ها است. نتایج حاصل از آزمون پاشش مه-نمک به خوبی این نتایج را تایید می‌نماید.

شکل ۱۱ نمودار تألف مربوط به نمونه‌های قرار گرفته در معرض نور فرابنفش در دستگاه شرایط جوی تسریع شده را نشان می‌دهد. نتایج حاصل از این نمودار و جدول ۴ نشان می‌دهد که به طور کلی وجود نانوذرات هسته/پوسته آناتار-سیلیس سبب تخریب پوشش در نتیجه تابش نور فرابنفش و در نتیجه موجب کاهش مقاومت خوردگی پوشش‌ها شده است. مطابق نتایج به دست آمده نمونه S1 نسبت به سایر نمونه‌ها کمترین تاثیر را در کاهش مقاومت متحمل شده است که دلیل آن نبود عامل فتوکاتالیست آناتاز در سامانه است. در بین سه نمونه دیگر نیز نمونه S2 بهترین مقاومت را در برابر تابش نور فرابنفش داشته و تغییرات در جهت کاهش مقاومت خوردگی کمتری دارد. نمونه S3 به دلیل داشتن نانوذرات با خواص فتوکاتالیستی بالا نسبت به دو نمونه دیگر بیشترین تغییرات در جهت کاهش مقاومت خوردگی را دارد. این نتایج به خوبی با نتایج حاصل از آزمون بررسی تخریب متیلن آبی و تصاویر میکروسکوپ الکترونی روبشی سطح نمونه‌ها قابل توجیه است.

جدول ۳: نتایج به دست آمده از آزمون مه-نمک نمونه‌ها بعد از گذشت ۱۰۸۰ ساعت در داخل دستگاه مه-نمک.

نمونه	نتایج	ارزیابی نمونه‌ها
S1	تاول زدگی شدید در اطراف خراش و عمق نفوذ تاول زدگی از محل خراش به زیر لایه پوشش ۷ الی ۱۰ میلی‌متر	۳
S2	تاول زدگی زیاد در اطراف خراش و عمق نفوذ تاول زدگی از محل خراش به زیر لایه پوشش ۲ الی ۳ میلی‌متر	۵
S3	نانونکامپوزیتی مشاهده نشد و نفوذ تاول زدگی از محل خراش وجود ندارد	۱۰
S4	تعداد ۲ عدد تاول زدگی در اطراف خراش و عمق نفوذ تاول زدگی از محل خراش به زیر لایه پوشش ۰/۵ الی ۱ میلی‌متر	۸

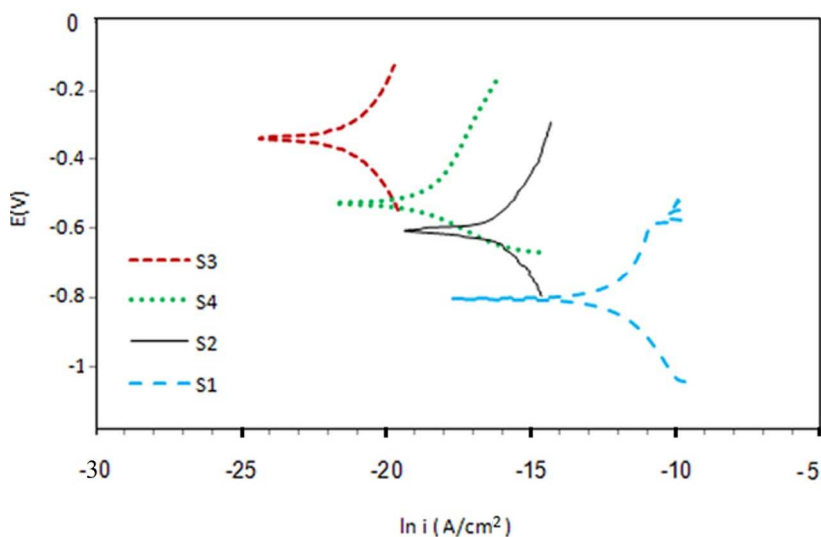
### ۳-۶- بررسی منحنی‌های تألف

به طور کلی سه دلیل برای از بین رفتن پوشش‌های ضدخوردگی وجود دارد. ۱) نیروی ضعیف ترکیب بین پوشش و بستر فلزی که موجب جدایی راحت‌تر پوشش از سطح می‌شود (۲) از دست رفتن خاصیت محافظتی پوشش به علت تخریب آلوده‌گرهای خورنده مانند اسیدها و نمک‌ها (۳) دلیل سوم که مهم‌ترین دلیل به شمار می‌آید از دست رفتن مقاومت خوردگی پوشش به دلیل رخ دادن خوردگی الکتروشیمیایی به خاطر نفوذ یون‌های مانند  $\text{Cl}^-$  و  $\text{Na}^+$  است [۱]. در مقابل دو راه اصلی برای افزایش کارایی این پوشش‌ها وجود دارد. اولی استفاده از رزین‌های مادر با کارایی بالا که می‌تواند خواص ذاتی پوشش را بهبود دهد و دوم اضافه کردن مواد پرکننده که آن نیز خواص ذاتی پوشش را افزایش می‌دهد. نانوذرات به دلیل اثر small-call و اثر سطح می‌توانند موجب بهبود کارایی پوشش شوند [۴].

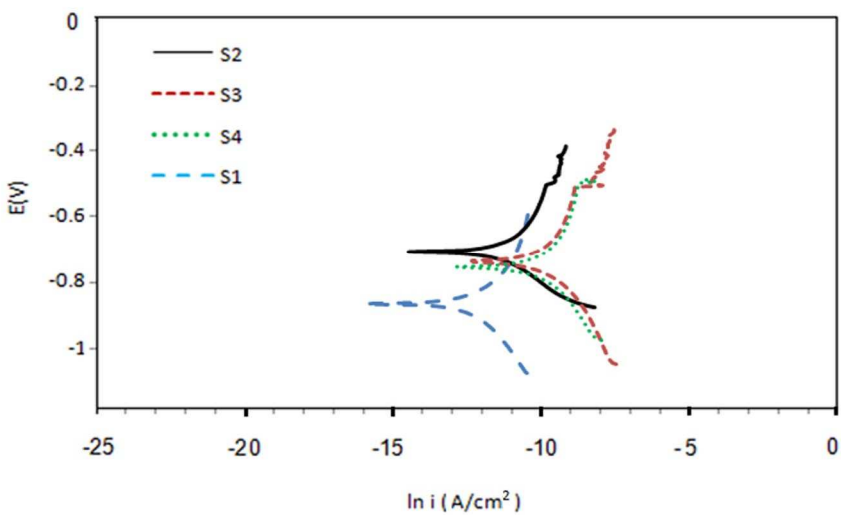
شکل‌های ۱۰ و ۱۱ به ترتیب منحنی تألف نمونه‌ها قبل و بعد از قرار گرفتن در دستگاه شرایط جوی تسریع شده در محیط ۵٪ نمک سدیم کلراید را نشان می‌دهد. پارامترهای الکتروشیمیایی خوردگی از قبیل پتانسیل خوردگی ( $E_{corr}$ ) و جریان خوردگی ( $i_{corr}$ ) از روی منحنی‌های تألف و درصد بازدارندگی از رابطه ۱ محاسبه شد [۴]:

$$P (\%) = [1 - (i_{corr} / i^{\circ}_{corr})] \times 100 \quad (1)$$

در این رابطه  $i_{corr}$  و  $i^{\circ}_{corr}$  به ترتیب چگالی شدت جریان خوردگی در حضور و غیاب پوشش بر روی سطح آلومینیوم ۱۰۵۰ است. از رابطه فوق برای به دست آوردن درصد بازدارندگی پوشش‌های تهیه شده استفاده شد. نتایج در جدول ۴ آورده شده است.



شکل ۱۰: منحنی تافل نمونه‌ها قبل از قرار گرفتن در دستگاه شرایط جوی تسربی شده.



شکل ۱۱: منحنی تافل نمونه‌ها بعد از قرار گرفتن در دستگاه شرایط جوی تسربی شده.

ذرات آناتاز است. تصویر میکروسکوب الکترونی عبوری تشکیل لایه سیلانی با ضخامت حدود ۱۵ نانومتر بر روی ذرات دی‌اکسید تیتانیم را نشان داد. نانوذرات تهیه شده در بستر پلیمر هیبریدی توزیع شدند و پوشش‌های تهیه شده توسط پوشش‌دهی غوطه‌ورسازی بر روی سطح مورد نظر اعمال گردیدند. نتایج مربوط به تجزیه متیلن آبی، برتری خاصیت فتوکاتالیستی را برای نمونه عملیات حرارتی شده اثبات کرد [۳۷]. برای بررسی مقاومت خوردگی پوشش‌های تهیه شده بر روی بستر آلیاژ آلومینیم ۱۰۵۰ از آزمون‌های الکتروشیمیایی و پاشش مهندسی استفاده شد. نتایج آزمون الکتروشیمیایی نشان داد که نمونه‌های تهیه شده محافظت خوردگی بالای ۸۰ درصد را برای بستر فلزی ایجاد

#### ۴- نتیجه‌گیری

در این تحقیق، نانوذرات دی‌اکسید تیتانیم با ساختار بلوری آناتاز با دو روش دمای پایین (تحت تقطیر بازگشتی در دمای  $80^{\circ}\text{C}$ ) و دمای بالا ( $500^{\circ}\text{C}$ ) تهیه و توسط دی‌اکسید سیلیسیم به صورت هسته/پوسته در آورده شد. الگوهای تفرق پرتو ایکس نانوذرات دی‌اکسید تیتانیم تهیه شده، تشکیل فاز بلور از نانوذرات بی‌شکل موجود در سل را تایید می‌کند. زوایای تفرق ۲۰ نانوذرات در  $37.81, 25.31$  و  $52.91^{\circ}$  می‌باشد بنابراین از هر دو حالت به فاز بلوری دی‌اکسید تیتانیم آناتاز می‌توان دست یافت با این تفاوت که در حالت تحت تقطیر بازگشتی به ذراتی با اندازه بلورهای ریز منجر می‌شود که حاصل آن سل شفاف از

پوشش‌ها، نمونه‌ها به مدت ۱۰۸۰ ساعت در معرض نور فرابنفش قرار داده شد. نمودارهای تألف نمونه‌ها نشان داد که هرچه فعالیت فوتوكاتالیستی پوشش بیشتر باشد به همان اندازه از میزان مقاومت خوردگی پوشش با گذشت زمان در معرض نور فرابنفش کاسته می‌شود. به طوری که نمونه‌ای با درصد محافظت ۹۲ و ۹۸ بعد از قرار در معرض نور فرابنفش به ترتیب به ۶۱ و ۵۷ درصد کاهش یافت.

می‌کند. این مقدار برای نمونه پایه حدود ۸۲ درصد محاسبه شد که با ورود نانوذرات هسته/پوسته این مقدار بسته به روش تهیه نانوذرات، تا ۹۸ درصد افزایش یافت. نتایج به دست آمده از آزمون پاشش مه‌نمک مطالعات الکتروشیمیایی را تایید نمود. البته مرور زمان و قرار گرفتن در معرض نور نمونه‌های شامل این نانوذرات را تحت تاثیر قرار داد. برای بررسی تأثیر فعالیت فوتوكاتالیستی بر میزان مقاومت خوردگی

## ۵- مراجع

- R. Zandi-zand, A. Ershad-langroudi, A. Rahimi, Organic-inorganic hybrid coatings for corrosion protection of 1050 aluminum alloy. *J. Non-Cryst. Solids.* 351(2005), 1307-1311.
- T. L. Metroke, R. Parkhill, E. T. Knobbe, Synthesis of hybrid organic-inorganic sol-gel coatings for corrosion resistance. *MRS-Proceedings.* 576(1999), 293-298.
- T. L. Metroke, O. Kachurina, E. T. knobbe, Spectroscopic and corrosion resistance characterization of GLYMO-TEOS Ormosil coatings for aluminum alloy corrosion inhibition. *Prog. Org. Coat.* 44(2002), 295-305.
- R. Zandi-zand, A. Ershad-langroudi, A. Rahimi, Silica based organic-inorganic hybrid nanocomposite coatings for corrosion protection. *Prog. Org. Coat.* 53(2005), 286-291.
- A. N. Khramov, V. N. Balbyshev, N. N. Voevodin, M. S. Donley, Nanostructured sol-gel derived conversion coatings based on epoxy- and amino-silanes. *Prog. Org. Coat.* 47(2003), 207-213.
- A. J. Weng, J. Y. Huang, K. Y. Huang, Y. S. Jhuo, M. H. Tsai, J. M. Yeh, Advanced anticorrosive coatings prepared from electroactive polyimide-TiO<sub>2</sub> hybrid nanocomposite materials. *Electrochim. Acta.* 55(2010), 8430-8438.
- Fujishima, K. Honda, Electrochemical photolysis of water at a semiconductor electrode. *Nature.* 238(1972), 37-38.
- A. A. Tryk, A. Fujishima, K. Honda, TiO<sub>2</sub> photocatalysts and diamond electrodes. *Electrochim. Acta.* 45(2000), 4683-4690.
- N. Negishi, K. T Akeuchi, Preparation of TiO<sub>2</sub> thin film photocatalysts by dip coating using a highly viscous solvent. *J. Sol-Gel Sci. Tech.* 22(2001), 23-31.
- N. Barati, M. A. Faghihi Sani, Coating of titania nanoparticles on stainless steel using an alkoxide precursor. *Prog. Color Colorants Coat.* 2(2009), 71-78.
- T. Textor, F. Schröter, E. Schollmeyer, Thin coatings with photo catalytic activity based on inorganic-organic hybrid polymers modified with anatase nanoparticles. *Macromol. Symp.* 254(2007), 196-202.
- D. S. Yu, J. W. Ha, Photodegradation of isopropyl alcohol in TiO<sub>2</sub>-coating conditions on POF. *J. Appl. Chem.* 9(2005), 93-96.
- G. X. Shen, Y. C. Chen, C. J. Lin, Corrosion protection of 316 L stainless steel by a TiO<sub>2</sub> nanoparticle coating prepared by sol-gel method. *Thin Solid Films.* 489(2005) 130-136.
- J. Masalski, J. Gluszek, J. Zabreski, K. Nitsch, P. Gluszek, Improvement in corrosion resistance of the 316L stainless steel by means of Al<sub>2</sub>O<sub>3</sub> coatings deposited by the sol-gel method. *Thin Solid Films.* 349(1999) 186-190.
- M. J. Zhou, Z. O. Zeng, L. Zhong, Photogenerated cathode protection properties of nano-sized TiO<sub>2</sub>/WO<sub>3</sub> coating.
- O. Zubillaga, F. J. Cano, I. Azkarate, I. S. Molchan, G. E. Thompson, P. Skeldon, Anodic films containing polyaniline and nanoparticles for corrosion protection of AA2024T3 aluminium alloy. *Surf. Coat. Technol.* 203(2009), 1494-1501.
- A. M. Kamalan Kirubaharan, M. Selvaraj, K. Maruthan, D. Jeyakumar, Synthesis and characterization of nanosized titanium dioxide and silicon dioxide for corrosion resistance applications. *J. Coat. Technol. Res.* 9(2012), 163-170.
- A. Xiang, Z. Shengtao, H. Wenzhang, H. Baorong, Effect of nano-TiO<sub>2</sub> on mp-25 resin. *J. Appl. Polym. Sci.* 107(2008), 1598-1603.
- A. Ershad-Langroudi, H. Tahmouresi-nezhad, H. Abdollahi, A. Rahimi, Corrosion protection of titania/silica core shell hybrid nanocomposite coating on 2024 aluminum alloy. *Prog. Org. Coat.* (2012), POC-D-12-00209, to be appeared.
- M. Atik, P. D. L. Neto, M. A. Aegeirter, L. A. Avaca, Sol-gel thin films for corrosion protection. *J. Appl. Electrochem.* 21(1995) 403-406.
- K. Y. Jung, S. B. Park, Enhanced photoactivity of silica-embedded titania particles prepared by sol-gel process for the decomposition of trichloroethylene. *Appl. Catal., B* 25(2000), 249-256.
- N. Bahrami Panah, Study of the anticorrosive properties of polypyrrole/polyaniline composite (as a conductive polymer) via electrochemical techniques. *J. Color Sci. Technol.* 1(2007), 57-65.
- M. Sabouri, T. Shahrbabi, H. R. Faridi, M. G. Hosseini, Polypyrrole and polypyrrole-tungstate electropolymerization coatings on carbon steel and evaluating their corrosion protection performance via electrochemical impedance spectroscopy. *Prog. Org. Coat.* 64(2009), 429-434.
- H. Eivaz Mohammadloo, A. A. Sarabi, A. A. Sabbagh Alvani, H. Sameie, R. Salimi, Anti-corrosion and morphological analysis of a conversion coating based on nanoceramic hexafluorozirconic acid on a steel substrate. *J. Color Sci. Technol.* 6(2012), 9-18.
- R. Amini, A. A. Sarabi, S. M. Kassiriha, Influence of sodium dodecyl sulfate on structure and anti-corrosive properties of phosphate coating on az31 magnesium alloy. *J. Color Sci. Technol.* 4(2010), 183-189.
- N. Pirhady Tavandashti, S. Sanjabi, T. Shahrbabi, Corrosion protection evaluation of silica/epoxy hybrid nanocomposite coatings to AA2024. *Prog. Org. Coat.* 65(2009), 182-186.
- Y. Haji Ali Akbari, A. A. Sarabi, M. Khorassani, S. M. Naseri Kandloo, Epoxy-montmorillonite nanocomposites: the influence of hardener reactivity on morphology and corrosion resistance properties. *J. Color Sci. Technol.* 6(2012), 125-134.

28. M. Karbassi, A. Nemati, M. Hosseini Zori, Synthesis of TiO<sub>2</sub> nanoparticles in reverse microemulsion and microstructural changes of particles during calcination. *J. Color Sci. Technol.* 5(2011), 43-50.
29. E. Alibakhshi, E. Ghasemi, M. Mahdavian, A comparison study on corrosion behavior of zinc phosphate and potassium zinc phosphate anticorrosive pigments. *Prog. Color Colorants Coat.* 5(2012), 91-99.
30. D. Zare-Hossein-abadi, A. Ershad-Langroudi, A. Rahimi, S. Afsar, Photo-generated activities of nanocrystalline  $\text{tio}_2$  thin films. *J. Inorg. Organomet. Polym.* 20(2010), 250-257.
31. S. Rasouli, F. Oshani, S. M. Hashemi, Effect of various fuels on structure and photo-catalytic activity of nanocrystalline TiO<sub>2</sub> prepared by microwave-assisted combustion method. *Prog. Color Colorants Coat.* 4(2011), 85-94.
32. Z. Mesgari, M. Gharagozlu, A. Khosravi, K. Gharanjig, Synthesis and characterization of novel hybrid nanocomposite containing modified titanium dioxide nanoparticles and tetraisoindole organic pigment. *J. Color Sci. Technol.* 5(2011), 227-233.
33. D. L. Pavia, G. M. Lampman, G. S. Kaiz, Introduction to spectroscopy. Western Washington. 1996, 35-57.
34. H. Ahmadi Moghaddam, S. H. Jazayeri, R. Y. Saghakhaneh, The production of titanium dioxide in anatase crystallographic structure, as an opacifier for glazes by the sulphate method. *J. Color Sci. Technol.* 2(2008), 95-101.
35. D. Zare-Hossein-abadi1, A. Ershad-Langroudi, A. Rahimi, Preparation of anatase nanoparticles thin film coatings by sol-gel method at low temperature and investigation of their photocatalytic activities. *J. Color Sci. Technol.* 3(2008), 121-129.
36. Y. Hu, C. Yuan, Low-temperature Preparation of photocatalytic TiO<sub>2</sub> thin films on polymer substrates by direct deposition from anatase sol. *J. Mater. Sci. Technol.* 22(2006), 239-244.
37. H. Abdollahi, A. Ershad-Langroudi, A. Rahimi, Photocatalytic coating using Titania-Silica core/shell nanoparticles. *Polym. Adv. Technol.* (2013), PAT-13-410, to be appeared
38. M. Zaharesu, A. Barau, L. Preoana, M. Gartner, M. Anatasescu, J. Mrazek, I. Kasik, V. Matejec, TiO<sub>2</sub>-SiO<sub>2</sub> sol-gel hybride films and their sensitivity to gaseous toluene. *J. Non-Cryst. Solids.* 354(2008), 693-699.
39. T. Qing, S. Zhi, Y. Chun-long, A. Yun-qi, Impact mechanism of nano-sized TiO<sub>2</sub> and SiO<sub>2</sub> on corrosion resistance of electric arc spraying sealing coat. *Procedia Earth Planet. Sci.* 1(2009), 851-856.